

Рис. 4.

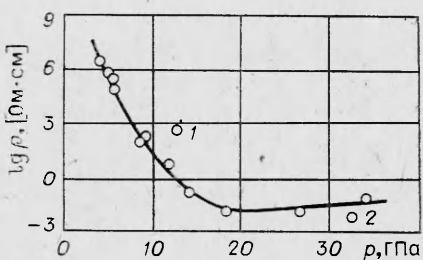


Рис. 5.

реход диэлектрик — металл, и основными носителями тока являются электроны. Однако не исключено, что некоторая доля проводимости серы при ударном сжатии связана с появлением ионов. Подтверждением тому служат электрохимические сигналы амплитудой 0,2 В, зафиксированные автором работы [21].

ЛИТЕРАТУРА

1. S. Doniach. Adv. Phys., 1969, **18**, 819.
2. D. Brust. Phys. Lett. A, 1972, **38**, 3, 157.
3. Н. И. Куликов. ФТТ, 1978, **20**, 7, 2027.
4. Л. А. Гатилов, Л. В. Кулешова. ФТТ, 1981, **23**, 9, 2848.
5. J. Aidun, M. S. T. Bukowinski, M. Ross. Phys. Rev. B: Condensed Matter, 1984, **29**, 5, 2611.
6. T. E. Slykhouse, H. G. Drickamer. J. Phys. Chem. Solids, 1958, **7**, 2/3, 275.
7. Л. Ф. Верещагин, Е. И. Яковлев, Б. В. Виноградов и др. Письма в ЖЭТФ, 1974, **20**, 8, 50.
8. B. Le Neindre, K. Suito, N. Kawai. High Temp.—High Pres., 1976, **8**, 1, 1.
9. L. S. Chabbildas, A. L. Rouff. J. Chem. Phys., 1977, **66**, 3, 983.
10. K. J. Dunn, F. P. Bundy. J. Chem. Phys., 1977, **67**, 11, 5048.
11. В. Евдокимова, Н. Г. Куземская. Письма в ЖЭТФ, 1978, **28**, 6, 390.
12. H. G. David, S. D. Hamann. J. Chem. Phys., 1958, **28**, 5, 1006.
13. J. Berger, S. Joigneau, G. Bottet. C. R. Acad. Sci., Paris, 1960, **250**, 26, 4331.
14. U. I. Berg. Arkiv för Fysik, 1964, **25**, 10, 111.
15. С. С. Набатов, А. И. Дремин, В. И. Постнов и др. Письма в ЖЭТФ, 1979, **29**, 7, 407.
16. В. В. Якушев, С. С. Набатов, О. Б. Якушева. ФГВ, 1974, **10**, 4, 583.
17. M. Cowperthwaite, R. Shaw. J. Chem. Phys., 1970, **53**, 2, 555.
18. К. Мейер. Физико-химическая кристаллография/Под ред. Е. Д. Щукина, Б. Д. Сумма. М.: Металлургия, 1972.
19. E. D. West. J. Amer. Chem. Soc., 1959, **81**, 4, 29.
20. Е. Ю. Тоников. Фазовые диаграммы элементов при высоком давлении. М.: Наука, 1979.
21. В. М. Шунин. Канд. дисс., МФТИ, 1979.

Поступила в редакцию 3/VI 1985,
после доработки — 14/X 1985

СИЛЬНЫЙ ТОЧЕЧНЫЙ ВЗРЫВ В СЛАБОНЕОДНОРОДНОЙ АТМОСФЕРЕ

C. A. Новопашин
(Новосибирск)

Применение теории подобия и размерности к задаче о сильном взрыве в среде с постоянной плотностью либо изменяющейся по закону $\rho = Ar^\omega$ позволяет получить автомодельное решение [1]. При этом плотность среды в точке взрыва $\rho = 0$ ($\omega > 0$) или $\rho \rightarrow \infty$ ($\omega < 0$). Случай $\omega = 0$ соответствует однородной атмосфере. В реальных условиях, однако, приходится рассчитывать течения при взрыве в газе с конечной плотностью, изменяющейся с расстоянием от точки взрыва [2]. В данной работе показано, что для слабонеоднородной атмосферы с конечной плот-

нностью ($\rho(R) = \rho_0 + d\rho/dR \cdot R$, $d\rho/dR \cdot R \ll \rho_0$) теория размерности позволяет установить характер движения сильных ударных волн. При этом к числу определяющих параметров добавляется величина градиента плотности, по которой можно составить дополнительный безразмерный параметр: $d\rho/dR \cdot R/\rho_0$. Выпишем все безразмерные величины, определяющие задачу: κ ; $(E/\rho_0)^{1/2} \cdot t/R^{2+n}$; $\frac{d\rho}{dR} \cdot \frac{R}{\rho_0}$, где E — энергия ($n=3$), энергия на единицу длины ($n=2$) и на единицу площади ($n=1$), κ — показатель адиабаты, n — размерность задачи. Согласно П-теореме [1], общее решение можно записать следующим образом:

$$\left(\frac{E}{\rho_0}\right)^{1/2} t/R^{\frac{2+n}{2}} = f\left(\kappa, \frac{d\rho}{dR} \cdot \frac{R}{\rho_0}\right). \quad (1)$$

Введем $t_0 = R^{(2+n)/2} / (\alpha E/\rho_0)^{1/2}$ — решение для сильного взрыва в однородной атмосфере, α — известная функция показателя адиабаты [1]. Перепишем (1) в виде

$$t = t_0 \varphi\left(\kappa, \frac{d\rho}{dR} \cdot \frac{R}{\rho_0}\right).$$

При этом функция $\varphi \rightarrow 1$ при $\frac{d\rho}{dR} \cdot \frac{R}{\rho_0} \rightarrow 0$. Разлагая φ по малой величине, имеем

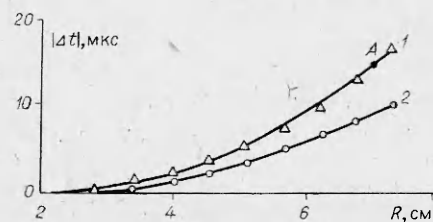
$$t = t_0 + c(\kappa) \frac{R^{\frac{2+n}{2}}}{\left(\frac{\alpha E}{\rho_0}\right)^{1/2}} \frac{d\rho}{dR} \frac{R}{\rho_0},$$

где $c(\kappa) = \frac{\partial \varphi \left(\kappa, \frac{d\rho}{dR} \frac{R}{\rho_0} \right)}{\partial \left(\frac{d\rho}{dR} \frac{R}{\rho_0} \right)} \Big|_{\frac{d\rho}{dR}=0}$. Обозначая разницу времен прихода ударной волны до расстояния R в случае однородной и неоднородной атмосфер Δt , получаем

$$\begin{aligned} \Delta t &\sim R^{5/2} \frac{d\rho}{dR} \frac{1}{\rho_0^{1/2}}, \\ \Delta t &\sim R^3 \frac{d\rho}{dR} \frac{1}{\rho_0^{1/2}}, \\ \Delta t &\sim R^{7/2} \frac{d\rho}{dR} \frac{1}{\rho_0^{1/2}} \end{aligned} \quad (2)$$

для линейного случая, цилиндрического и для сферического соответственно. Формулы (2) приводят к известному результату [3]: замедление ударных волн при движении их в область $d\rho/dR > 0$ и ускорение при движении в область $d\rho/dR < 0$ по сравнению со случаем однородной атмосферы.

Метод размерности позволяет определить характер зависимости физических величин, однако коэффициент пропорциональности (в данном случае $c(\kappa)$) остается неопределенным. Поэтому для сравнения с экспе-



Зависимость времени запаздывания (опережения) от расстояния.
Эксперимент [4], $\frac{d\rho}{dR} \cdot \frac{1}{\rho}$, см^{-1} : $\Delta - 0,045$,
 $\circ - 0,032$; кривые — расчет настоящей работы.

риментом необходимо вычисление коэффициента $c(\alpha)$ по одной из экспериментальных точек. На рисунке приведено сравнение формул (2) для цилиндрического случая с результатами экспериментов по детонации линейного заряда ВВ в неоднородной по плотности атмосфере [4] ($\alpha = \text{const}$). Величина $c(\alpha)$ вычислена в точке A. Совпадение расчета с экспериментом для двух различных градиентов плотности показывает справедливость формул (2).

Автор благодарен С. Ф. Чекмареву за ряд полезных советов.

ЛИТЕРАТУРА

1. Л. И. Седов. Методы подобия и размерности в механике. М.: Наука, 1981.
2. П. И. Чушкин, Л. В. Шуршалов.— В кн.: Итоги науки и техники. Сер. Механика жидкости и газа. Т. 16. ВИНИТИ, 1981.
3. Я. Б. Зельдович, Ю. П. Райзэр. Физика ударных волн и высокотемпературных газодинамических явлений. М.: Физматгиз, 1963.
4. В. И. Мали, С. А. Новопашин, Г. А. Храмов и др.— В кн.: Механика быстропротекающих процессов. Новосибирск, 1984.

Поступила в редакцию 18/VI 1985

ИЗМЕРЕНИЕ ОСТАТОЧНЫХ ТЕМПЕРАТУР В ЦИЛИНДРИЧЕСКИХ АМПУЛАХ СОХРАНЕНИЯ

Д. Л. Гурьев, С. С. Бацанов

(Менделеево)

Для сохранения веществ в физике динамических давлений используются цилиндрические ампулы сохранения [1, 2]. Измерение остаточных температур в стенках цилиндрических ампул — цель настоящей работы.

Первая серия экспериментов проводилась на установке, аналогичной [3]. Цилиндрические ампулы 2 специальной конструкции (рис. 1) прикреплялись к массивной стальной плите 5, что обеспечивало их неподвижное положение в момент и после импульсной нагрузки и позволяло вводить в них термопары. Ампула с внешним диаметром 10 мм и высотой 50 мм готовилась цельной из стали ЗОХГСА и термообрабатывалась до твердости 35—37 HRC. Она крепилась в капсуле 3, которая в свою очередь ввинчивалась в плиту.

Остаточная температура стенок ампул сохранения измерялась дифференциальными термопарами константан — Ст. ЗОХГСА, причем одним из электродов служил материал ампулы, другим — константановая фольга толщиной 100 мкм. В результате динамического сжатия термопара не изменила своих термоэлектрических свойств, что проверялось снятием калибровочной кривой термопары, обработанной импульсным давлением. Измеренное значение коэффициента термо-ЭДС термопары составило 41 мкВ/град. Рабочий спай 6 размещался на глубине 2 мм от поверхности и на расстоянии 30 мм от верхнего торца ампулы. Спай сравнения 4 размещен таким образом, что температура его сохранялась постоянной во время опыта.

Сигнал регистрировался двумя запоминающими осциллографами С8-13, имеющими различные скорости развертки, равные 10 мс/дел и 10 с/дел, что позволяло регистрировать временной диапазон 10^{-3} — 10^2 с. Запуск разверток осуществлялся синхронно с подачей команды на подрыв. После каждого ударно-волнового нагружения проверялся отклик термопары на пробный температурный сигнал с целью определения сохранности термопары. Ошибка в измерении остаточной температуры составляла 10 %.